

JAERI-M

5486

輻射問題における角度因子計算への  
正射影法の応用

(射影面積法)

1973年12月

阿部 清治

日本原子力研究所  
Japan Atomic Energy Research Institute

この報告書は、日本原子力研究所が JAERI-M レポートとして、不定期に刊行している研究報告書です。入手、複製などのお問合せは、日本原子力研究所技術情報部（茨城県那珂郡東海村）あて、お申しこしください。

JAERI-M reports, issued irregularly, describe the results of research works carried out in JAERI. Inquiries about the availability of reports and their reproduction should be addressed to Division of Technical Information, Japan Atomic Energy Research Institute, Tokai-mura, Naka-gun, Ibaraki-ken, Japan.

輻射問題における角度因子計算への正射影法の応用  
(射影面積法)

日本原子力研究所動力開発管理室

阿部 清治

(1973年11月27日受理)

輻射問題における角度因子計算の新しい手法(射影面積法)を紹介する。この方法は、角度因子の計算に正射影の考え方を取り入れたもので、それによると角度因子は、輻射体および被輻射体の平行光線による射影面積の関数として表わされる。射影面積法を採用することにより、これまで Lambert の式で 4 重積分形で表わされてきた角度因子は、3 次元問題では 2 重積分形で、2 次元問題では単積分形で表わされ；しかも、多くの場合、これまでより簡単な被積分関数になる。この結果、多くの問題で角度因子が解析的に求まるようになり、また、解析的に求めることができない場合でも、数值積分の精度と速さを向上させられるようになった。

JAERI-M 5486

**Application of Orthography to the Angle Factor Calculation  
in Radiation Problems ; the Shadow Area Method**

Kiyoharu ABE

Office of Power Reactor Projects, JAERI

( Received November 27, 1973 )

A new method to calculate an angle factor in the radiation problem ( named the "shadow area method" ) is described. In this method the idea of orthography is applied to angle factor calculation, and the angle factor is given as a function of the shadow areas of the radiating and the irradiated bodys by parallel beams. By the shadow area method, the angle factor, written in fourfold integration in the Lambert's equation, can be expressed in double or single integration for the three or two dimensional problem respectively, and besides the integrated function becomes simple in most cases. Angle factors may thus be obtained analytically in many problems, and where not obtained analytically, accuracy and rapidity of the numerical integrations can be increased considerably.

## 目

## 次

はじめに

1

## 1. 辐射の概要とこれまでの角度因子計算法

3

## 1.1 辐射現象の概要

3

## 1.2 辐射の等方性と Lambert の式

5

## 2. 射影面積法による角度因子の計算法

9

## 2.1 辐射体から出て行く熱量

9

## 2.2 二体間の輻射による熱伝達

1-1

## 2.3 平面問題

1-4

## 2.4 Lambert の方法と射影面積法との関係

1-8

## まとめ

2-2

## 記号表

2-3

## 参考文献

2-4

## 翻訳

2-4

## 付録：射影面積法の原子炉燃料集合体ヒートアップ計算への応用

2-5

## はじめに

原子力発電が電力の中核となる日が近づき、大型プラントが各地に続々と建設されるにつれて、原子力施設は当然のことながらより一層の安全性を要求される。そして、現在特に問題になっているのが、軽水炉の再循環系配管の破断によっておきる、冷却材喪失事故(LOCA)の解析である。

冷却材が破断口から流出するにつれて、原子炉の冷却能は著しく低下する。プローダウンの初期は核沸騰によって熱除去されていたものが、流量の低下に伴い、膜沸騰に変わって、伝熱量が低下する。炉心流量がほとんどなくなると、もはや対流による熱伝達は期待できず、輻射による、高温部分から低温部分への熱移動だけで温度分布が決まる。このように、LOCA時の原子炉炉心のヒートアップを計算するには、炉心内部での輻射による熱伝達を正しく評価することが、必要欠くべからざる要因である。

ところで、輻射による熱伝達を考えるとき、最初に問題になるのは、角度因子計算の困難さである。ここで角度因子とは、ある物体から出された熱輻射線のうち、別のある物体に到達する確率である。本報告書で紹介するのは、新しい、従来の方法に比べてより簡単な、角度因子の計算法である。

角度因子の計算は、これまで、ほとんどの場合、次に示す Lambert の式を用いてなされてきた。

$$f_{A_1 \rightarrow A_2} = \frac{1}{\pi A_1} \int_{A_1} \int_{A_2} \cos \alpha_1 \cos \alpha_2 \frac{1}{\ell_{12}^2} dA_1 dA_2$$

Lambert の式は、輻射体および被輻射体上の微小面  $dA_1, dA_2$  の間の熱輻射量を求め、それをそれぞれの全表面  $A_1, A_2$ について積分するという方法により、二体間の角度因子を求めていく。しかしながら、この方程式は三角関数と距離の二乗分の一の項の浪在する関数を二重に面積分（すなわち4重積分）するものであり、解析的に解が求まらむのは、実際には極めて稀である。また、計算機を用いて直積分するにしても、4重積分の計算は、時間もかかるし精度も望めない。

ここに紹介する方法は、最初にある方向  $\omega$  を与え、その方向の熱輻射線による伝熱量を求め、それを全方向  $\omega$  について積分することにより伝熱量を求めようとするものであり、具体的には次の式で計算される。

$$f_{A_1 \rightarrow A_2} = \frac{1}{\pi A_1} \int_{\Omega} S_{12}^{(\omega)} d\omega$$

ここで、 $S_{12}^{(\omega)}$  とは、輻射体  $A_1$  と被輻射体  $A_2$  それぞれの、 $\omega$  方向平行光線による正射影  $S_1^{(\omega)}$ ,  $S_2^{(\omega)}$  の共通部分の面積である。このように、角度因子が正射影面積を用いて表わされることから、この方法を「射影面積法」と呼ぶことにする。

射影面積法は、輻射体表面上で温度および輻射体か一様でない場合についても定義されらるか、このときの表示はあまり簡単にならない。しかし、輻射体表面上で温度と輻射率が一様である

場合には、上記の式を用いて、Lambert の式よりもはるかに簡単に角度因子を計算できる。

射影面積法の特徴をまとめて示すと次のようになる。

- ・ 橫分回数が少なくなる。Lambert の式は 2 回の面積分を含むから、実際には 4 重積分である。これに対し、射影面積法では 1 回の立体角積分をすればよく、三次元問題では 2 回、二次元問題ではただ 1 回の積分をすることにより、角度因子が計算できる。
- ・ 被積分関数が比較的簡単になることが多い。特に二次元問題では、ほとんどの場合著しく簡単になる。
- ・ 以上の結果、解析的に角度因子を求められる問題が飛躍的に増えた。たとえば、付録に示すように、正方格子配列の燃料棒間の角度因子が解析的に求められた。また、もし解析的に解が求まらない場合でも、積分回数の減少により、数值積分の速さと精度を向上させられるようになった。

# 1 輻射の概要とこれまでの角度因子計算法

## 1.1 輻射現象の概要

固体表面からは、その表面温度と表面黒度に応じて熱輻射線が出る。理想的な物体（完全黒体）では、単位時間に単位表面積からその上部半空間に放出される熱輻射量  $q^{(b)}$  は、Stefan - Boltzmann の法則により、次式で表わされる。

$$q^{(b)} = \sigma T^4 \quad (1)$$

ここで、  $T$  = 黒体の表面温度 (°K)

$\sigma$  = Stefan - Boltzmann 定数

$$= 1.355 \times 10^{-12} \text{ cal/sec/cm}^2 \cdot \text{K}^4$$

実際の物体には、完全黒体というものはなく、その単位表面積から出る単位時間あたり熱輻射量  $q$  は、同一温度の黒体単位表面から単位時間に出る熱輻射量  $q^{(b)}$  よりも必ず小さい。この関係は、係数  $\epsilon$  を用いて次式に表わされる。

$$q = \epsilon q^{(b)} = \epsilon \sigma T^4 \quad (2)$$

ここで、  $\epsilon$  は黒度または輻射率と呼ばれる無次元数であり、完全黒体の場合には 1、そうでない物体では 1 より小さい正数である。輻射率  $\epsilon$  は、一般には温度の函数となるが、本報告書では  $\epsilon$  を温度に依存しない物質によって決まる定数として取り扱う。（このように取り扱える物体は灰色体と呼ばれる。）

次に、輻射を受ける側について考える。被輻射体表面に到達した熱輻射線は、一部は吸収されて熱に変り、残りは反射されて再び空間中に放出される。吸収された熱量の、全到達熱量に対する割合を吸収率と呼び、記号  $a$  で表わす。完全黒体の場合だと、到達した全熱輻射線が吸収されるので、 $a = 1$  となるが、実際の物体では  $a$  は 1 より小さい正数である。

吸収率  $a$  は、到達するエネルギーのスペクトルの函数であるから、一般には被輻射体の表面温度の函数である。しかし、灰色体の場合には、被輻射体の吸収率は照射体の表面温度に依存しないこと、および、被輻射体の吸収率はその物体自身の輻射率に等しいことが知られている（Kirchhoff の法則）。すなわち、灰色体については温度によらず次の関係が成り立つ。

$$a = \epsilon \quad (3)$$

ある物体表面から出る単位時間あたりの熱輻射量  $q$  は、(2)式をその物体での全表面積  $A$  について積分することにより得られる。すなわち、

$$q = \int_A q dA = \sigma \int_A \epsilon T^4 dA \quad (4-1)$$

特に、輻射体表面で温度および輻射率が一定である場合には、(4-1)式は次のように簡略

化される。

$$q = \bar{q} A = \epsilon \sigma T^4 A \quad (4-2)$$

さて、物体表面  $A_1$  から空間中に放出された熱輻射線は、あるものは別な物体  $A_2, A_3, A_4, \dots$  に到達し、そこで吸収もしくは反射される。あるものは無限のかたに消えていってしまう。

また、 $A_1$  が凹面体の場合だと、 $A_1$  自身にも到達し、そこで吸収もしくは反射される。熱エネルギー保存の法則から、単位時間に  $A_1$  から放出される熱輻射量  $q_1$  と、単位時間にこれら各物体（無限を含む）に到達する熱量との間には、次の関係が成り立っている。

$$q_1 = \sum_{n=1}^N q_{1 \rightarrow n} + q_{1 \rightarrow \infty} \quad (5)$$

ただし、 $q_{1 \rightarrow n} =$  物体  $A_1$  から出て物体  $A_n$  に到達する単位時間あたり熱輻射量。  
 $n = 1$  のときは  $A_1$  自身への熱輻射量。

$q_{1 \rightarrow \infty} =$  物体  $A_1$  から出て無限遠に行ってしまう単位時間あたり熱輻射量。  
 $N =$  考えている体系中に存在する物体の数。

ここで、 $A_1$  から出た輻射熱  $q_1$  のうち、物体  $A_n$  に到着する確率を  $f_{1 \rightarrow n}$ 、無限遠に行く確率を  $f_{1 \rightarrow \infty}$  で表わす。これらの確率は、角度因子と呼ばれるものであり、次式で定義される。

$$\left\{ \begin{array}{l} f_{1 \rightarrow n} = \frac{q_{1 \rightarrow n}}{q_1} \\ f_{1 \rightarrow \infty} = \frac{q_{1 \rightarrow \infty}}{q_1} \end{array} \right. \quad (6)$$

角度因子は、一般には、各物体の形状、相互の位置関係、および輻射体表面での温度と輻射率の分布によって決まる。特に、輻射体表面で温度および輻射率が一様である場合には、角度因子は各物体の幾何学的形状および相対位置だけで決定される。

本章が対象とするのは、このように定義された角度因子の計算法である。この計算には、「輻射の等方性」が前提となっており、これまで使われてきている Lambert の式もこの原則から導き出されているので、次章ではこれらについて説明する。

なお、(6)式を(5)式に代入すれば、各角度因子間の関係が得られる。すなわち、

$$\sum_{n=1}^N f_{1 \rightarrow n} + f_{1 \rightarrow \infty} = 1 \quad (7)$$

(7)式において、輻射体  $A_1$  が凸面体であれば  $f_{1 \rightarrow 1} = 0$ 、また、 $N$  個の面によって空間が囲まれていれば  $f_{1 \rightarrow \infty} = 0$  である。

## 1.2 純射の等方性とLambertの式

本報告書では、輻射は等方的であるとみなされる。いま、Figure 1に示す微小な単位平面からの輻射を考える。単位平面の法線から $\alpha$ だけ傾いた方向への、単位面積、単位時間、単位立体角あたりの熱輻射量 $\dot{q}^{(w)}$ は、輻射の等方性から、次のように表わされる(Lambertの余弦法則)。

$$\dot{q}^{(w)} = \frac{1}{\pi} q \cos \alpha \quad (8)$$

ここで、 $\dot{q}^{(w)}$ の添字 $(w)$ は、三次元空間でのある一方向を表わすものと約束する。方向 $w$ は、Figure 1に見られるように、法線からの傾きの角 $\alpha$ と、法線まわりの角 $\beta$ によって表わすことができる。また、 $q$ は、前述の(2)式で定義された、輻射体の単位表面から単位時間に出される熱輻射量である。

(8)式の右辺に係数 $1/\pi$ が現われる理由は次のとおりである。

輻射の等方性は、未定係数 $C$ を用いて次のように表わせる。

$$\dot{q}^{(un)} = C \cdot q \cos \alpha$$

輻射体の単位表面から、単位時間にその上部半空間 $\Omega/2$ に放出される熱輻射量 $q$ は、この式の両辺に微小立体角 $d\omega$ をかけ、それを $\Omega/2$ について積分すれば得られる。単位表面内では $q$ は一様であると考えられるので、この関係は次のようになる。

$$\begin{aligned} q &= \int_{\frac{\Omega}{2}} \dot{q}^{(w)} d\omega \\ &= C q \int_{\frac{\Omega}{2}} \cos \alpha d\omega \end{aligned}$$

これを極座標表示になおすと、微小角間の関係

$$d\omega = \sin \alpha d\alpha d\beta \quad (9)$$

を用いて次のように書ける。

$$\begin{aligned} q &= C q \int_0^{2\pi} \int_0^{\frac{\pi}{2}} \cos \alpha \sin \alpha d\alpha d\beta \\ &= C \cdot \pi q \end{aligned}$$

$$\therefore C = \frac{1}{\pi}$$

次に、Figure 2において、微小平面 $dA_1$ から微小平面 $dA_2$ に到達する、単位時間あたり熱輻射量を求める。 $dA_1$ 、 $dA_2$ を結ぶ直線を $b_{12}$ とし、 $b_{12}$ と $dA_1$ の法線との間の角

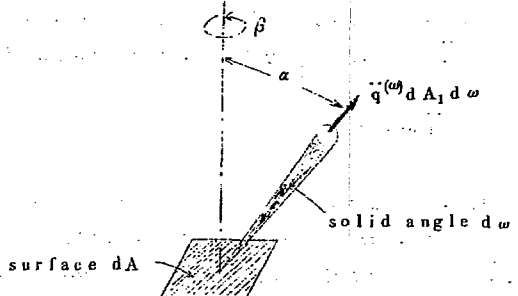


Figure 1 Lambert's cosine law: The energy emitted per unit area per unit time per unit solid angle in a direction  $\omega$  is given by the following equation :

$$\dot{q}(\omega) = \frac{q}{\pi} \cos \alpha$$

where  $q$  is the radiant energy emitted from the surface per unit area per unit time, and  $\alpha$  is the angle with the normal to  $dA$ .

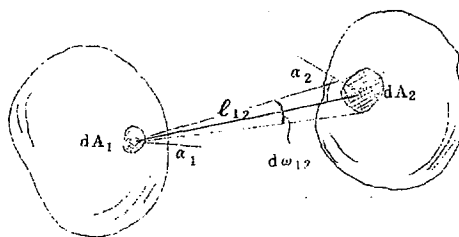


Figure 2 Radiant energy transported from  $dA_1$  to  $dA_2$ .

を  $\alpha_1$  とする。このような表示をすれば、単位時間に  $dA_1$  から  $\theta_{12}$  方向の微小立体角  $d\omega$  中に出ていく熱輻射量  $dq_1^{(\omega)}$  は、(8)式を用いて次のように書くことができる。

$$dq_1^{(\omega)} = \frac{1}{\pi} q_1 \cos \alpha_1 d\omega dA_1 \quad (8)$$

ところで、 $\theta_{12}$  の終端において、 $\theta_{12}$  に垂直な平面  $\Pi^{(\omega)}$  を考え、 $\Pi^{(\omega)}$  における  $dA_2$  の射影を  $dS_2$  とすると、 $\alpha_2$  を  $\theta_{12}$  と  $dA_2$  の法線の間の角として、 $dS_2$  は次のように書かれれる。

$$dS_2 = \cos \alpha_2 dA_2 \quad (9)$$

$dA_2$  を通る熱輻射線の量と、 $dS_2$  を通る熱輻射量は同じと考えてよく、また、微小面  $dA_1$  から微小面  $dA_2$  を見込む微小な立体角  $d\omega_{12}$  は

$$d\omega_{12} = \frac{dS_2}{\theta_{12}^2} \quad (10)$$

で与えられることがから、単位時間に  $dA_1$  から  $dA_2$  に伝えられる熱輻射量  $dq_{1 \rightarrow 2}$  は、(10)式を用いて次のように書ける。

$$\begin{aligned} dq_{1 \rightarrow 2} &= \frac{1}{\pi} q_1 \cos \alpha_1 \frac{dS_2}{\theta_{12}^2} dA_1 \\ &= \frac{1}{\pi} q_1 \cos \alpha_1 \cos \alpha_2 \cdot \frac{1}{\theta_{12}^2} dA_1 dA_2 \end{aligned} \quad (11)$$

これから、表面  $A_1$  から表面  $A_2$  への伝熱量  $q_{1 \rightarrow 2}$  は次式で与えられる。

$$q_{1 \rightarrow 2} = \frac{1}{\pi} \int \int_{A_2 A_1} q_1 \cos \alpha_1 \cos \alpha_2 \frac{1}{\theta_{12}^2} dA_1 dA_2 \quad (14-1)$$

特に、 $A_1$  上で  $q_1$  が一様であるとき、すなわち、 $A_1$  上で表面温度および輻射率が一様であるとき、(14-1)式は次のように書ける。

$$q_{1 \rightarrow 2} = \frac{q_1}{\pi} \int \int_{A_2 A_1} \cos \alpha_1 \cos \alpha_2 \frac{1}{\theta_{12}^2} dA_1 dA_2 \quad (14-2)$$

また、 $A_1$  からの単位時間あたり熱輻射量  $q_1$  は、 $q_1$  を使って次のように表わせる。  
( $A_1$  上で  $q_1$  が一様でないとき)

$$q_1 = \int_{A_1} q_1 dA_1 \quad (15-1)$$

[ $A_1$  上で  $q_1$  が一様であるとき]

$$\mathbf{q}_1 = \mathbf{\tilde{q}}_1 \cdot \mathbf{A}_1$$

(6)式で定義された角度因子の式に用い、四式を代入すれば、 $\mathbf{A}_1$  から  $\mathbf{A}_2$  への角度因子  $f_{1 \rightarrow 2}$  が次のように求まる。

[ $\mathbf{A}_1$  上で  $\mathbf{\tilde{q}}_1$  が一様でないとき]

$$f_{1 \rightarrow 2} = \frac{\frac{1}{\pi} \int_{\mathbf{A}_2} \int_{\mathbf{A}_1} \mathbf{\tilde{q}}_1 \cos \alpha_1 \cos \alpha_2 \frac{1}{\ell_{12}^2} d\mathbf{A}_1 d\mathbf{A}_2}{\int_{\mathbf{A}_1} \mathbf{\tilde{q}}_1 d\mathbf{A}_1} \quad (16-1)$$

[ $\mathbf{A}_1$  上で  $\mathbf{\tilde{q}}_1$  が一様であるとき]

$$f_{1 \rightarrow 2} = \frac{\mathbf{q}_{1 \rightarrow 2}}{\mathbf{q}_1 A_1} = \frac{\frac{1}{\pi} \int_{\mathbf{A}_2} \int_{\mathbf{A}_1} \cos \alpha_1 \cos \alpha_2 \frac{1}{\ell_{12}^2} d\mathbf{A}_1 d\mathbf{A}_2}{\int_{\mathbf{A}_1} \mathbf{q}_1 d\mathbf{A}_1}$$

$$= \frac{1}{\pi A_1} \int_{\mathbf{A}_2} \int_{\mathbf{A}_1} \cos \alpha_1 \cos \alpha_2 \frac{1}{\ell_{12}^2} d\mathbf{A}_1 d\mathbf{A}_2 \quad (16-2)$$

これが、Lambert の方法による角反射因子の計算法である。

## 2. 射影面積法による角度因子の計算法

### 2.1 辐射体から出て行く熱量

ある辐射体の全表面  $A$  から出る、単位時間あたり熱辐射量  $q$  について考える。

今、ある立体角  $\omega$  を定め、 $A$  から出る熱辐射線のうち、方向が  $\omega$  であるものだけを取り出し、それらによって運ばれる単位時間あたり熱辐射量を  $q^{(\omega)}$  とする。(正確には、方向  $\omega$  の近傍に微小立体角  $d\omega$  をとり、熱辐射線の方向が  $d\omega$  に含まれるもののみを取り出して、それらによる単位時間あたり伝熱量を  $dq^*$  とし、 $d\omega \rightarrow 0$  のときの  $dq^*/d\omega$  の極限値として  $q^{(\omega)}$  を与える。)

このように定義すると、 $A$  からの単位時間あたり全熱辐射量  $q$  は、 $q^{(\omega)} d\omega$  を全空間  $\Omega$  にわたって積分することにより求められる。

$$q = \int_{\Omega} q^{(\omega)} d\omega \quad (17-1)$$

(9)式の関係を用いれば、この式はまた次のように極座標表示される。

$$q = \int_0^{2\pi} \int_0^\pi q(\theta, \varphi) \sin \theta d\theta d\varphi \quad (17-2)$$

よって、 $\omega$  方向への熱辐射量  $q^{(\omega)}$  がわかれば、(17-1) もしくは(17-2)式を用いることにより  $q$  を求めることができます。

Figure 3 において、物体  $A$  から  $\omega$  方向に出て行く、単位時間、単位立体角あたりの熱辐射量  $q^{(\omega)}$  を考え。方向  $\omega$  に垂直な平面  $\Pi^{(\omega)}$  を考え、 $\Pi^{(\omega)}$  への  $A_1$  の正射影を  $S^{(\omega)}$  とする。 $A$  上の微小面  $dA$  は、 $S^{(\omega)}$  上の微小面  $dS^{(\omega)}$  に写される。今、 $dA$  から  $\omega$  方向に出た熱辐射線  $dq^{(\omega)}$  について考えると、 $dA$  の方線と方向  $\omega$  の間の角を  $\alpha$  とすれば、(8)式から  $dq^{(\omega)}$  は次のようにならう。

$$dq^{(\omega)} = \frac{1}{\pi} q \cos \alpha dA \quad 48$$

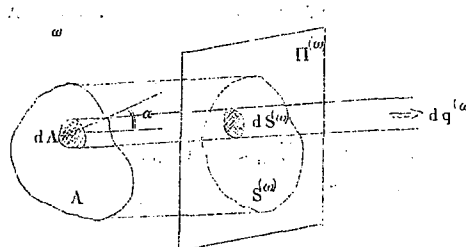


Figure 3 Radiant energy emitted from  $dA$  in a direction  $\omega$ .

ところが、Figure 3 からあきらかなように、

$$\cos \alpha dA = dS^{(\omega)}$$

49

であるから

$$dq^{(\omega)} = \frac{1}{\pi} q dS^{(\omega)} \quad (20)$$

さて、(20)式における  $q$  は、微小面  $dA$  の上で定義されたものであった。しかし、 $dA$  から出た輻射線がすべて  $dS^{(\omega)}$  を通過することを考えると、 $\omega$  方向の熱輻射量は、すべて  $dS^{(\omega)}$  からそれと垂直な方向に出されているとみなすこともできる。正射影により、 $dA$  上の温度および輻射率も  $dS^{(\omega)}$  上に写されたと考えると、 $dS^{(\omega)}$  上で定義される。単位時間単位面積あたりの仮想の熱輻射量は  $q$  に等しくなる。すなわち、(20)式における  $q$  は、正射影により  $dS^{(\omega)}$  上に写されたものであると考えてさしつかえない。

物体 A 全体からの  $\omega$  方向への単位時間あたり熱輻射量  $q^{(\omega)}$  は、このようにして求めた  $dq^{(\omega)}$  を、A の射影面積  $dS^{(\omega)}$  全体について積分すれば得られる。すなわち、(20)式から、

$$\begin{aligned} q^{(\omega)} &= \int_{S^{(\omega)}} dq^{(\omega)} \\ &= \frac{1}{\pi} \int_{S^{(\omega)}} q dS^{(\omega)} \end{aligned} \quad (21-1)$$

特に、 $S_1^{(\omega)}$  上で  $q$  が一様であるとき、 $q^{(\omega)}$  は次のように表わせる。

$$q^{(\omega)} = \frac{1}{\pi} q S^{(\omega)} \quad (21-2)$$

すなわち、このとき  $q^{(\omega)}$  は、A の  $\omega$  方向への射影面積  $S^{(\omega)}$  ( $\pi$  係数  $\frac{q}{\pi}$  をかけたもの) で表わされる。

(21-1), (21-2) 式を (17-1), (17-2) 式に代入すれば、輻射体 A からの単位時間あたり全輻射量  $q$  が次のように求められる。

[A 上に  $q$  の分布があるとき]

$$q = \frac{1}{\pi} \int_{\Omega} \left\{ \int_{S^{(\omega)}} q dS^{(\omega)} \right\} d\omega \quad (22-1)$$

$$\text{または } q = \frac{1}{\pi} \int_0^{2\pi} \int_0^{\pi} \left\{ \int_{S^{(\omega)}} q dS^{(\omega)} \right\} \sin \theta d\theta d\varphi \quad (22-2)$$

〔A上にqの分布がないとき〕

$$q = \frac{\dot{q}}{\pi} \int_{\Omega} S^{(\omega)} d\omega \quad (22-3)$$

$$\text{または } q = \frac{\dot{q}}{\pi} \int_0^{2\pi} \int_0^{\pi} S^{(\omega)} \sin \theta d\theta d\varphi \quad (22-4)$$

## 2.2 二体間の輻射による熱伝達

輻射体  $A_1$  から被輻射体  $A_2$  への輻射による単位時間あたりの伝熱量を求める。 $A_2$  が黒体でない場合は、 $A_2$  の表面で熱輻射線の一部が反射されるが、ここでは反射されるものも含めて、とにかく  $A_2$  の表面に到達する熱量  $q_{1 \rightarrow 2}$  について考えることにする。(これは、 $A_2$  が黒体であったとき、 $A_2$  に吸収される熱量とも考えられる。)

さて、前節と同様に、ある三次元的な方向  $\omega$  を定め、 $\omega$  方向の熱輻射線について考える。このように方向を決められた熱輻射線によって  $A_1$  から  $A_2$  に単位時間に移送される熱輻射量を  $q_{1 \rightarrow 2}^{(\omega)}$  とすると、 $A_1$  から  $A_2$  に単位時間に移送される全熱輻射量  $q_{1 \rightarrow 2}$  は次式で求められる。

$$q_{1 \rightarrow 2} = \int_{\Omega} q_{1 \rightarrow 2}^{(\omega)} d\omega \quad (23-1)$$

極座標表示で書けば、

$$q_{1 \rightarrow 2} = \int_0^{2\pi} \int_0^{\pi} q_{1 \rightarrow 2}^{(\theta, \varphi)} \sin \theta d\theta d\varphi \quad (23-2)$$

Figure 4 に示すように、方向  $\omega$  に垂直な平面を  $\Pi^{(\omega)}$  とし、 $A_1$  および  $A_2$  の  $\Pi^{(\omega)}$  への正射影をそれぞれ  $S_1^{(\omega)}$ 、 $S_2^{(\omega)}$  とする。また、 $S_1^{(\omega)}$  と  $S_2^{(\omega)}$  の重なった部分を  $S_{12}^{(\omega)}$  とする。

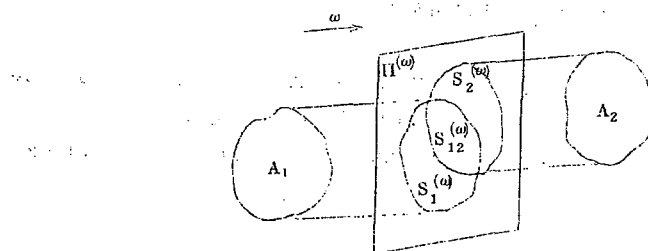


Figure 4 Radiation from  $A_1$  to  $A_2$  in a direction  $\omega$ .

図からあきらかなるように、 $A_1$  から出た  $\omega$  方向熱幅射線（すなわち、 $S_1^{(\omega)}$  から出たとみなされた  $S_1^{(\omega)}$  と垂直方向への熱幅射線）のうち、 $A_2$  に到達するのは、 $S_{12}^{(\omega)}$  を通過するものだけである。よって、 $A_1$  から  $A_2$  への  $\omega$  方向熱幅射線による単位時間あたり伝熱量  $q_{1 \rightarrow 2}^{(\omega)}$  は、(21-1)あるいは(21-2)式での考察と同様にして、次のように表わすことができる。

[ $A_1$  上で  $\ddot{q}_1$  が一様でないとき]

$$q_{1 \rightarrow 2}^{(\omega)} = \frac{1}{\pi} \int_{S_{12}^{(\omega)}} \ddot{q}_1 dS_1^{(\omega)} \quad (24-1)$$

[ $A_1$  上で  $\ddot{q}_1$  が一様であるとき]

$$\dot{q}_{1 \rightarrow 2}^{(\omega)} = \frac{1}{\pi} \ddot{q} S_{12}^{(\omega)} \quad (24-2)$$

(24-1)および(24-2)式を、(23-1)および(23-2)式に代入すれば、輻射体  $A_1$  から被輻射体  $A_2$  に単位時間に移送される熱量  $q_{1 \rightarrow 2}$  が次のように求められる。

[ $A_1$  上で  $\ddot{q}_1$  が一様でないとき]

$$q_{1 \rightarrow 2} = -\frac{1}{\pi} \int_{\Omega} \int_{S_{12}^{(\omega)}} \ddot{q}_1 dS_1^{(\omega)} d\omega \quad (25-1)$$

または  $q_{1 \rightarrow 2} = \frac{1}{\pi} \int_0^{2\pi} \int_0^{\pi} \int_{S_{12}^{(\omega)}} \ddot{q}_1 dS_1^{(\omega)} \sin \theta d\theta d\varphi \quad (25-2)$

[ $A_1$  上で  $\ddot{q}_1$  が一様であるとき]

$$q_{1 \rightarrow 2} = \frac{\ddot{q}}{\pi} \int_{\Omega} S_{12}^{(\omega)} d\omega \quad (25-3)$$

または  $q_{1 \rightarrow 2} = \frac{\ddot{q}}{\pi} \int_0^{2\pi} \int_0^{\pi} S_{12}^{(\omega)} \sin \theta d\theta d\varphi \quad (25-4)$

さて、 $A_1$  から  $A_2$  への角度因子  $f_{1 \rightarrow 2}$  は、(22-1)～(22-4)式で計算される  $\ddot{q}_1$  および(25-1)～(25-4)式で計算される  $q_{1 \rightarrow 2}$  を、(6)式に代入することにより求められる。しかしながら、 $\ddot{q}_1$  の計算式としては、(22-1)～(22-4)式よりも(15-1)および(15-2)の方が簡単なので、そちらを用いることにすれば、角度因子  $f_{1 \rightarrow 2}$  が次のように求められる。

[ $A_1$  上で  $\ddot{q}_1$  が一様でないとき]

$$f_{1 \rightarrow 2} = \frac{q_{1 \rightarrow 2}}{\ddot{q}_1} = \frac{\frac{1}{\pi} \int_{\Omega} \int_{S_{12}^{(\omega)}} \ddot{q}_1 dS_1^{(\omega)} d\omega}{\int_{A_1} \ddot{q}_1 dA_1} \quad (26-1)$$

あるいは

$$f_{1 \rightarrow 2} = \frac{\frac{1}{\pi} \int_0^{2\pi} \int_0^\pi \int_{S_{12}}(\omega) q_1 dS_1(\omega) \sin \theta d\theta d\varphi}{\int_{A_1} q_1 dA_1} \quad (26-2)$$

〔 $A_1$  上で  $q_1$  が一様であるとき〕

$$f_{1 \rightarrow 2} = \frac{\frac{q}{\pi} \int_{\Omega} S_{12}(\omega) d\omega}{q A_1} = \frac{1}{\pi A_1} \int_{\Omega} S_{12}(\omega) d\omega \quad (26-3)$$

あるいは

$$f_{1 \rightarrow 2} = \frac{1}{\pi A_1} \int_0^{2\pi} \int_0^\pi S_{12}(\omega) \sin \theta d\theta d\varphi \quad (26-4)$$

このように、特に輻射体  $A_1$  上で温度および輻射率が一様であるとき、角度因子は射影面積の簡単な積分関数として表わされる。

 $A_2$  VC 到達しない確率

さて、Figure 4 にどって、 $S_1(\omega)$  に含まれ  $S_{12}(\omega)$  には含まれない射影面積を  $S_{1\infty}(\omega)$  で表わすと、これまでの方法と同様にして、 $A_1$  から放出された熱輻射量のうち  $A_2$  に届かない確率  $f_{1 \rightarrow \infty}$  を求めることができる。結果は次のようになる。

〔 $A_1$  上で  $q_1$  が一様でないとき〕

$$f_{1 \rightarrow \infty} = \frac{q_{1 \rightarrow \infty}}{q_1} = \frac{\frac{1}{\pi} \int_0^{2\pi} \int_0^\pi \int_{S_{1\infty}}(\omega) q_1 dS_1(\omega) d\omega}{\int_{A_1} q_1 dA_1} \quad (27-1)$$

あるいは

$$f_{1 \rightarrow \infty} = \frac{\frac{1}{\pi} \int_0^{2\pi} \int_0^\pi \int_{S_{1\infty}}(\omega) q_1 dS_1(\omega) \sin \theta d\theta d\varphi}{\int_{A_1} q_1 dA_1} \quad (27-2)$$

〔 $A_1$  上で  $q_1$  が一様であるとき〕

$$f_{1 \rightarrow \infty} = \frac{1}{\pi A_1} \int_{\Omega} S_{1\infty}(\omega) d\omega \quad (27-3)$$

あるいは、

$$f_{1 \rightarrow \infty} = \frac{1}{\pi A_1} \int_0^{2\pi} \int_0^\pi S_{1\infty}^{(\omega)} \sin \theta d\theta d\varphi \quad (27-4)$$

あきらかに、

$$f_{1 \rightarrow 2} = 1 - f_{1 \rightarrow \infty}$$

であるから、問題によっては、 $f_{1 \rightarrow \infty}$  を求めることにより  $f_{1 \rightarrow 2}$  を求めることもできる。

### 二体間に妨害物のある場合の輻射熱伝達

二体  $A_1, A_2$  間に妨害物  $A_3, A_4, A_5, \dots$  が入っている体系について、 $A_1$  から  $A_2$  への角度因子を考える。 $A_1$  を出た熱輻射線が、 $A_3, A_4, A_5, \dots$  に反射してから  $A_2$  に入るような場合は無視して考えると、すなわち、 $A_3, A_4, A_5, \dots$  は黒体と仮定して考えると、 $A_1$  から  $A_2$  への角度因子  $f_{1 \rightarrow 2}$  は、(26-1) ~ (26-4) 式および(27-1) ~ (27-4) 式に現われた射影面積  $S_{12}^{(\omega)}$  および  $S_{1\infty}^{(\omega)}$  を次のように定義しなおしさえすれば、これらの式をそのまま用いて計算することができる。

今、 $\omega$  方向に垂直な平面を  $\Pi^{(\omega)}$  とする。 $\Pi^{(\omega)}$  への、 $A_1, A_2, A_3, A_4, \dots$  の正射影を、それぞれ  $S_1^{(\omega)}, S_2^{(\omega)}, S_3^{(\omega)}, S_4^{(\omega)}, \dots$  とする。 $S_1^{(\omega)}, S_2^{(\omega)}$  のどちらにも含まれ、かつ  $S_3^{(\omega)}, S_4^{(\omega)}, S_5^{(\omega)}, \dots$  のどれにも含まれない部分を  $S_{12}^{(\omega)}$  とする。また  $S_1^{(\omega)}$  から  $S_{12}^{(\omega)}$  を除いた残りを  $S_{1\infty}^{(\omega)}$  とする。

このような再定義により、これまでの議論は妨害物のある体系についてもそのまま成り立つ。今後、単に  $S_{12}^{(\omega)}$  あるいは  $S_{1\infty}^{(\omega)}$  と言った場合は、すべて上記の定義によるものとする。

### 2.3 平面問題

$Z$  方向に無限の長さを持ち、形状も温度も  $Z$  方向に一様である物体間の輻射熱伝達を考える (Figure 5)。

このような問題は、平面問題として取り扱うことができる。すなわち、熱輻射線はすべて  $Z$  軸に垂直な平面内を走るとみなすことができ、 $Z$  方向単位厚さに含まれる部分について、 $A_1$  から  $A_2$  への輻射熱伝達を考えれば十分である。

最初に、平面問題についての輻射の専門性について考える。輻射体  $A$  上の単位長さから単位時間にその外側に出てくる熱輻射量を  $q$  とすると、その法線方向から  $\alpha$  だけ傾いた方向に出て行く単位平面角あたり熱輻射量  $q^{(\alpha)}$  は次の式で表わされる (Lambert の余弦法則, Figure 6)

$$q^{(\alpha)} = C q \cos \alpha$$

ここで、 $C$  は未定係数であり以下のようにして定められる。

Figure 6 からあきらかかなように、上記の式に微小角  $d\alpha$  をかけ、それを  $\alpha = -\pi/2$  から  $\alpha = \pi/2$  まで積分した結果は、単位面積から単位時間に放出される熱輻射量  $q$  に等しいはずである。よって

$$\begin{aligned}
 \bar{q} &= \int_{-\frac{\pi}{2}}^{\frac{\pi}{2}} q^{(\alpha)} d\alpha \\
 &= C \bar{q} \int_{-\frac{\pi}{2}}^{\frac{\pi}{2}} \cos \alpha d\alpha \\
 &= 2C\bar{q}
 \end{aligned}$$

$$\therefore C = \frac{1}{2}$$

これから、平面問題における輻射の等方性は次の式で表わされる。

$$q^{(\alpha)} = \frac{1}{2} \bar{q} \cos \alpha$$

さて、前節までと同様に、まず熱輻射源の方向を与え、それに垂直な平面への輻射体と被輻射体の正射影をとることによって角度因子を求める。平面問題では、Figure 7に示すように、熱輻射源の方向は平面角  $\varphi$  ひとつだけで決り、それに垂直な平面は図上では直線  $L^{(\varphi)}$  におろした正射影を、それぞれ  $S_1^{(\varphi)}$  および  $S_2^{(\varphi)}$  とし、その重なった部分を  $S_{12}^{(\varphi)}$  とする。このようないき方について、2.2節と同様の考察を行なう。

今、ある方向  $\varphi$  を与え、その方向の熱輻射源により、 $A_1$  から  $A_2$  に運ばれる単位時間あたりの熱輻射量を  $q_{1 \rightarrow 2}^{(\varphi)}$  とする。 $A_1$  から  $A_2$  への単位時間あたり全伝熱量  $q_{1 \rightarrow 2}$  は、これを全方向（平面問題では  $\varphi = 0$  から  $\varphi = 2\pi$ ）について積分することにより得られるから、

$$q_{1 \rightarrow 2} = \int_0^{2\pi} q_{1 \rightarrow 2}^{(\varphi)} d\varphi \quad (30)$$

ここで、 $q_{1 \rightarrow 2}^{(\varphi)}$  は、 $S_1^{(\varphi)}$  上で定義される  $\bar{q}_1$ （平面問題では単位面積単位時間あたりの熱輻射量）の関数で表わされる。因式から、この関係は次のように表わされる。

[ $A_1$  上で  $\bar{q}_1$  が一様でないとき]

$$q_{1 \rightarrow 2}^{(\varphi)} = \frac{1}{2} \int_{S_{12}^{(\varphi)}} \bar{q}_1 dS_1^{(\varphi)} \quad (31-1)$$

[ $A_1$  上で  $\bar{q}_1$  が一様であるとき]

$$q_{1 \rightarrow 2}^{(\varphi)} = \frac{1}{2} \bar{q}_1 S_{12}^{(\varphi)} \quad (31-2)$$

(31-1) および (31-2) 式を 30 式に代入すれば、 $q_{1 \rightarrow 2}$  は次のように表わされる。

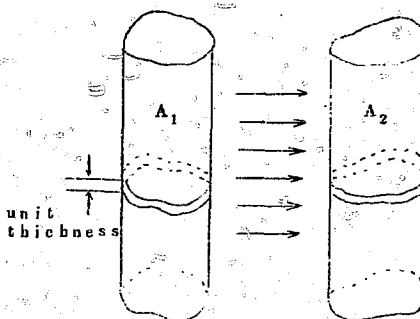
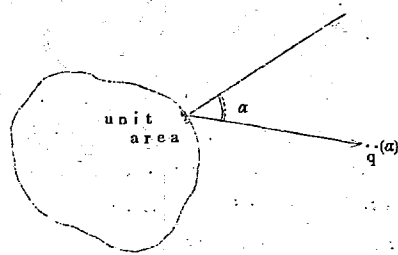


Figure 5. Plane problem

Figure 6. Lambert's cosine law  
in the plane problem.  $q^{(\alpha)}$  is represented as follows :

$$q^{(\alpha)} = \frac{1}{2} q \cos \alpha$$

where  $q$  is the radiant energy emitted from a unit area per unit time.

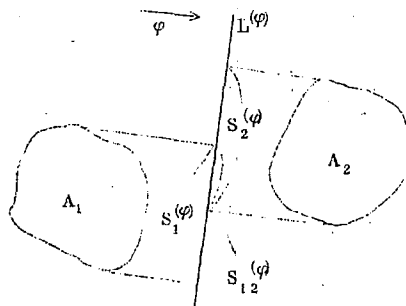


Figure 7. Projection in the case of a plane problem.

[ $A_1$  上で  $\dot{q}_1$  が一様でないとき]

$$\dot{q}_{1 \rightarrow 2} = \frac{1}{2} \int_0^{2\pi} \int_{S_{12}} \dot{q}_1 dS_1^{(\phi)} d\varphi \quad (32-1)$$

[ $A_1$  上で  $\dot{q}_1$  が一様であるとき]

$$\dot{q}_{1 \rightarrow 2} = \frac{\dot{q}_1}{2} \int_0^{2\pi} S_{12}^{(\phi)} d\varphi \quad (32-2)$$

ところで、 $A_1$  からの単位時間あたり全熱輻射量  $\dot{q}_1$  は次式で与えられる。

[ $A_1$  上で  $\dot{q}_1$  が一様でないとき]

$$\dot{q}_1 = \int_{A_1} \dot{q}_1 dA_1 \quad (33-1)$$

[ $A_1$  上で  $\dot{q}_1$  が一様であるとき]

$$\dot{q}_1 = \dot{q}_1 A_1 \quad (33-2)$$

(32-1) および (33-1) 式、(32-2) および (33-2) 式を、それぞれ角度因子の定義式(6)式に代入すれば、平面問題での角度因子  $f_{1 \rightarrow 2}$  が次のように求まる。

[ $A_1$  上で  $\dot{q}_1$  が一様でないとき]

$$f_{1 \rightarrow 2} = \frac{\frac{1}{2} \int_0^{2\pi} \int_{S_{12}} \dot{q}_1 dS_1^{(\phi)} d\varphi}{\int_{A_1} \dot{q}_1 dA_1} \quad (34-1)$$

[ $A_1$  上で  $\dot{q}_1$  が一様であるとき]

$$f_{1 \rightarrow 2} = \frac{\frac{1}{2} \int_0^{2\pi} S_{12}^{(\phi)} d\varphi}{2 A_1} \quad (34-2)$$

(34-1) および (34-2) 式は、(26-2) および (26-4) 式から直ちに求められることもできる。

(26-2)、(26-4) 式に現われる  $dS_1^{(\omega)} = dS_1^{(\theta, \varphi)}$  および  $S_{12}^{(\omega)} = S_{12}^{(\theta, \varphi)}$  は、Z 軸方向に変化のない体系の単位長をとってみれば、次のようになる。

$$dS_1^{(\theta, \varphi)} = dS_1^{(0, \varphi)} \sin \theta \quad (35)$$

$$S_{12}^{(\theta, \varphi)} = S_{12}^{(0, \varphi)} \sin \theta \quad (36)$$

$dS_1^{(0, \varphi)}$  を  $dS_1^{(\phi)}$ 、 $S_{12}^{(0, \varphi)}$  を  $S_{12}^{(\phi)}$  とかき、(35)、(36) を (26-2) および (26-4) 式に代入すると、それぞれ (34-1) および (34-2) 式が得られる。

〔 $A_1$  上で  $\bar{q}_1$  が一様でないとき〕

$$\begin{aligned}
 f_{1 \rightarrow 2} &= \frac{\frac{1}{\pi} \int_0^{2\pi} \int_0^\pi \int_0^{\pi} \bar{q}_1 d\theta S_{12}^{(\phi)} \sin^2 \theta d\theta d\phi}{\int_{A_1} \bar{q}_1 dA_1} \\
 &= \frac{\frac{1}{\pi} \int_0^\pi \sin^2 \theta d\theta \int_0^{2\pi} \int_0^{\pi} \bar{q}_1 d\phi S_{12}^{(\phi)} d\phi}{\int_{A_1} \bar{q}_1 dA_1} \\
 &= \frac{\frac{1}{2} \int_0^{2\pi} \int_0^{\pi} \bar{q}_1 dS_{12}^{(\phi)} d\phi}{\int_{A_1} \bar{q}_1 dA_1} \quad (34-1)
 \end{aligned}$$

〔 $A_1$  上で  $\bar{q}_1$  が一様であるとき〕

$$\begin{aligned}
 f_{1 \rightarrow 2} &= \frac{1}{\pi A_1} \int_0^{2\pi} \int_0^\pi S_{12}^{(\phi)} \sin^2 \theta d\theta d\phi \\
 &= \frac{1}{\pi A_1} \int_0^\pi \sin^2 \theta d\theta \int_0^{2\pi} S_{12}^{(\phi)} d\phi \\
 &= \frac{1}{2 A_1} \int_0^{2\pi} S_{12}^{(\phi)} d\phi \quad (34-2)
 \end{aligned}$$

## 2.4 Lambert の方法と射影面積法との関係

この節では、従来使われてきたLambertによる方法と、ここに述べてきた射影面積法との差異について述べる。

微小面  $dA_1$  から微小面  $dA_2$  への、単位時間あたり熱幅射量  $q_{dA_1 \rightarrow dA_2}$  は、式でみたように、次のように表わせる（幅射の等方性、Lambertの余弦法則）。

$$q_{dA_1 \rightarrow dA_2} = \frac{\bar{q}_1}{\pi} \cos \omega_1 d\omega_{12} dA_1 \quad (37)$$

ここで、 $\bar{q}_1 = dA_1$  から放出される、単位時間単位面積あたり熱幅射量

$w_1 = dA_1, dA_2$  を結ぶ直線  $\ell_{12}$  と,  $A_1$  の法線とのなす角

$d\omega_{12} = dA_1$  から  $dA_2$  を見込む立体角

さて, Lambert の式について考える。跡式を, まず立体角  $d\omega_{12}$  について積分すると,  $dA_1$  から  $dA_2$  への熱輻射量  $q_{dA_1 \rightarrow A_2}$  が次のように求まる。

$$q_{dA_1 \rightarrow A_2} = \frac{1}{\pi} \left\{ \int_{\Omega^{(A_2)}} q_1 \cos \omega_1 d\omega_{12} \right\} dA_1 \quad (39)$$

ここで,  $\Omega^{(A_2)} = dA_1$  から  $A_2$  を見込む立体角

これを,  $A_1$  上の全表面について積分すると,  $A_1$  から  $A_2$  への単位時間あたり全熱輻射量  $q_{A_1 \rightarrow A_2}$  が次のように求まる。

$$q_{A_1 \rightarrow A_2} = \frac{1}{\pi} \int_{A_1} \left\{ \int_{\Omega^{(A_2)}} q_1 \cos \omega_1 d\omega_{12} \right\} dA_1 \quad (39)$$

跡式に, 1.3 項で見た関係

$$d\omega_{12} = \frac{\cos \omega_2 dA_2}{\ell_{12}^2}$$

を代入すると

$$q_{A_1 \rightarrow A_2} = \frac{1}{\pi} \int_{A_1} \int_{A_2} q_1 \cos \omega_1 \cos \omega_2 \frac{1}{\ell_{12}^2} dA_2 dA_1 \quad (40-1)$$

特に,  $A_1$  上で  $q_1$  が一様であるとき,

$$q_{A_1 \rightarrow A_2} = \frac{q_1}{\pi} \int_{A_1} \int_{A_2} \cos \omega_1 \cos \omega_2 \frac{1}{\ell_{12}^2} dA_2 dA_1 \quad (40-2)$$

$A_1$  からの単位時間あたり熱輻射量  $q_{A_1}$  は, (15-1) および (15-2) 式により表わされるから, Lambert の方法による角度因子  $f_{A_1 \rightarrow A_2}$  は次のようになる。

( $A_1$  上で  $q_1$  が一様でないとき)

$$f_{A_1 \rightarrow A_2} = \frac{\frac{1}{\pi} \int_{A_1} \int_{A_2} q_1 \cos \omega_1 \cos \omega_2 \frac{1}{\ell_{12}^2} dA_2 dA_1}{\int_{A_1} q_1 dA_1} \quad (41-1)$$

( $A_1$  上で  $q_1$  が一様であるとき)

$$f_{A_1 \rightarrow A_2} = \frac{\frac{q_1}{\pi} \int_{A_1} \int_{A_2} \cos \omega_1 \cos \omega_2 \frac{1}{\ell_{12}^2} dA_2 dA_1}{q_1 A_1}$$

$$= \frac{1}{\pi A_1} \int \int_{A_1 \rightarrow A_2} \cos \omega_1 \cos \omega_2 \frac{1}{\ell_{12}} dA_2 dA_1 \quad (41-2)$$

次に、射影面積法について考える。図式を、まず輻射体  $A_1$  の全表面について積分すると、その結果は、方向  $\omega$  を定めた場合の、 $A_1$  から  $A_2$  への単位時間単位立体角あたり伝熱量  $q_{A_1 \rightarrow A_2}^{(\omega)}$  となる。

$$q_{A_1 \rightarrow A_2}^{(\omega)} = \frac{1}{\pi} \left\{ \int_{A_1}^{(S)} q_1 \cos \omega_1 dA_1 \right\} d\omega \quad (42)$$

ここに、 $A_1^{(S)} = A_1$  から放たれた  $\omega$  方向熱方射線が  $A_2$  に達する場合の、 $A_1$  の一部分。ところが、 $\cos \omega_1 dA_1$  は  $dA_1$  の影  $dS_1$  に等しく、 $dS_1$  を  $A_1^{(S)}$  について積分した結果は、2.2 項で定義した  $S_{12}^{(\omega)}$  に等しくなる。よって図式は次のように書きなおせる。

$$q_{A_1 \rightarrow A_2}^{(\omega)} = \frac{1}{\pi} \left\{ \int_{S_{12}^{(\omega)}} q_1 dS_1^{(\omega)} \right\} d\omega \quad (43)$$

これを全方向  $\Omega$  について微分すれば、 $q_{A_1 \rightarrow A_2}$  が次のように求められる。

$$q_{A_1 \rightarrow A_2} = \frac{1}{\pi} \int \int_{\Omega S_{12}^{(\omega)}} q_1 dS_1^{(\omega)} d\omega \quad (44-1)$$

特に、 $A_1$  上で  $q_1$  が一様であるとき、(44-1) 式は次のようになります。

$$q_{A_1 \rightarrow A_2} = \frac{q_1}{\pi} \int_{\Omega} S_{12}^{(\omega)} d\omega \quad (44-2)$$

あとは、Lambert の方法と同様の処理をすることにより、角度因子  $f_{A_1 \rightarrow A_2}$  が次のように求まる。

( $A_1$  上で  $q_1$  が一様でないとき)

$$f_{A_1 \rightarrow A_2} = \frac{\frac{1}{\pi} \int \int_{\Omega S_{12}^{(\omega)}} q_1 dS_1^{(\omega)} d\omega}{\int_{A_1} q_1 dA_1} \quad (45-1)$$

( $A_1$  上で  $q_1$  が一様であるとき)

$$f_{A_1 \rightarrow A_2} = \frac{1}{\pi A_1} \int_{\Omega} S_{12}^{(\omega)} d\omega \quad (45-2)$$

以上見てきたように、Lambert の方法と、射影面積法との違いは、単に積分の順序を逆にしただけである。ただ、積分の順序が逆になった結果、(44-1) 式から (44-2) 式への変換のところに見られるように、輻射体表面で温度と輻射率が一様である場合には、面積分を 1 回省

略できる。これが、射影面積法の最大の長所である。

### 平面間通についての Lambert の式

以上とまったく同様の考察を行うことにより、平面間通についても、Lambert の式に対応する角度因子の計算式を求めることができる。結果は次のとおりである。

[ $A_1$  上で  $q_1$  が一様であるとき]

$$f_{A_1 \rightarrow A_2} = \frac{1}{2} \int_{A_1} \int_{A_2} q_1 \frac{\cos \omega_1 \cos \omega_2}{\ell_{12}} dA_2 dA_1 \quad (46-1)$$

$$\int_{A_1} q_1 dA_1$$

[ $A_1$  上で  $q_1$  が一様であるとき]

$$f_{A_1 \rightarrow A_2} = \frac{1}{2A_1} \int_{A_1} \int_{A_2} \frac{\cos \omega_1 \cos \omega_2}{\ell_{12}} dA_2 dA_1 \quad (46-2)$$

## まとめ

以上述べてきたように、輻射における角度因子は、射影面積法を採用することにより、著しく簡単に求められるようになった。なお、Lambert の方法と射影面積法による角度因子の計算式を、Table 2.1 にまとめて示す。

Table 2.1 Lambert の方法と射影面積法との角度因子計算式の表示の違い

次元	$\ddot{q}_1$	Lambert の方法	射影面積法
3	分布	$\frac{1}{\pi} \int_{A_1} \int_{A_2} \ddot{q}_1 \cos \alpha_1 \cos \alpha_2 \frac{1}{\ell_{12}^2} dA_2 dA_1 \quad (4)$	$\frac{1}{\pi} \int_{\Omega} \int_{S_{12}^{(\omega)}} \ddot{q}_1 dS_1^{(\omega)} d\omega \quad (4)$
	一様	$\int_{A_1} \ddot{q}_1 dA_1$	$\int_{A_1} \ddot{q}_1 dA_1$
2	分布	$\frac{1}{2} \int_{A_1} \int_{A_2} \ddot{q}_1 \cos \alpha_1 \cos \alpha_2 \frac{1}{\ell_{12}^2} dA_2 dA_1 \quad (2)$	$\frac{1}{2} \int_0^{2\pi} \int_{S_{12}^{(\varphi)}} \ddot{q}_1 dS_1^{(\varphi)} d\varphi \quad (2)$
	一様	$\frac{1}{2A_1} \int_{A_1} \ddot{q}_1 dA_1$	$\frac{1}{2A_1} \int_0^{2\pi} S_{12}^{(\varphi)} d\varphi \quad (1)$

( ) 内は積分回数

## 記号要

a	吸収率 ( - )
A, $A_i$	i番物体の表面積 ( $\text{cm}^2$ )
$f_{i \rightarrow j}$	i番物体から j番物体への角度因子 ( - )
$f_{i \rightarrow \infty}$	i番物体から無限遠への角度因子 ( - )
$\ell_{i,j}$	i番物体と j番物体との表面間の距離 ( $\text{cm}$ )
N	体系中に含まれる物体の数
$q_i, q_{i \rightarrow j}$	単位時間に物体 i から出る熱輻射量 ( $\text{cal/sec}$ )
$q_{i \rightarrow j}$	単位時間に物体 i から物体 j に到達する熱輻射量 ( $\text{cal/sec}$ )
$q_{i \rightarrow \infty}$	単位時間に物体 i から無限遠に行ってしまう熱輻射量 ( $\text{cal/sec}$ )
$q_i^{(\omega)}, q_i^{(a)}$	単位時間に物体 i から出る $\omega$ 方向の熱輻射量 ( $\text{cal/sec} \cdot \text{radian}$ )
$q_{i \rightarrow j}^{(\omega)}$	単位時間に $\omega$ 方向熱輻射線により物体 i から物体 j に到達する熱輻射量 ( $\text{cal/sec} \cdot \text{radian}$ )
$q_{i \rightarrow \infty}^{(\omega)}$	単位時間に $\omega$ 方向熱輻射線により物体 i から無限遠に行ってしまう熱輻射量 ( $\text{cal/sec} \cdot \text{radian}$ )
$q_i, q_i^{(b)}$	単位時間に物体 i の単位表面から出る熱輻射量 ( $\text{cal/sec} \cdot \text{cm}^2$ )
$q^{(b)}$	単位時間に黒体 i の単位表面から出る熱輻射量 ( $\text{cal/sec} \cdot \text{cm}^2$ )
$S_i^{(\omega)}, S_i^{(a)}$	物体 i から方向 $\omega$ に垂直な平面 II における正射影面積 ( $\text{cm}^2$ )
$S_{i,j}^{(\omega)}$	平面 II への物体 i と物体 j のそれぞれの正射影面積の重なった部分の面積 ( $\text{cm}^2$ )
T, $T_i$	物体 i の表面温度 ( $^\circ\text{K}$ )
$\alpha, \beta$	微小平面の法線からの傾きの角と法線のまわりの角 (radian)
$\epsilon, \epsilon_i$	物体 i の輻射率, 黒度 ( - )
$\theta, \varphi$	極座標表示のための角度 (radian)
$\sigma$	Stefan-Boltzmann constant ( $1.335 \times 10^{-12} \text{ cal/sec} \cdot \text{cm}^2 \cdot {}^\circ\text{K}^4$ )
$\omega$	三次元的なある方向, またその方向への立体角 (radian)
$\Omega$	全方向, 全立体角 (radian)
$\Omega/2$	微小面上の半空間 (radian)

**参考文献**

1. 原燃工学資料改訂第2版, 日本機械学会, 1966
2. Transport Phenomena, R.Byron Bird, Warren E. Stewart, Edwin N.Lighthfoot, John Wiley & Sons, Inc., 1960
3. Private Communication (JAERI-memo 4694), 岸昭正, 1972,

**謝 謝**

本報告書に述べた消滅因子計算法を確立するにあたっては、動管室安全解析班内の討論を通じ、佐藤一男班長、秋元正幸氏、朝日義郎氏から、適切かつ懇切な助言、指導を受けた。また、東北電力岸沼正氏には、特にヒートアップ計算においての輻射現象についての教示を受けた。以上の各氏には、ここに心からの感謝の意を表したい。

## 付録：射影面積法の原子炉燃料集合体ヒートアップ計算への応用

原子炉の冷却材喪失事故(LOCA)の一過程において、炉心部で冷却材がなくなることが考えられ、そのときの各燃料棒のヒートアップは、輻射による熱伝達によって支配される。このためには、各燃料棒間の角度因子を求める必要がある。正確には、軸方向を幾つかのノードに分け、三次元的な角度因子を求める必要があるが、ここでは、軸方向の熱移動はないと考え、各ノード内で平面問題として輻射を取り扱うものとする。この方法は、軸方向最高温度を出すノードの熱を他に散らさないので、通常は保守的な方法であると考えられる。

Figure A-1 IC BWR の、また、Figure A-2 IC PWR の、燃料集合体の断面の例を示す。両図に見られるように、通常の原子炉は、正方格子に円型断面の燃料棒を配列している。

以下、このような形状の燃料集合体について、各燃料棒間の角度因子を求めていく。

## 〔各確率間の関係〕

Figure A-3 は、正方格子型燃料集合体をモデル化したものである。図は、 $1/8$  範囲を対象としたものであるが、残りの部分は対称性により補完される。

図に示すように、対象としている燃料棒から  $i$  列右側、 $j$  列上側の燃料棒へという角度因子を  $f_{i,j}$  で表わす。半径対ピッチ比 ( $\xi = r/d$  で表わす) があまり小さいと、場合分けの数が増え繁雑になるので、ここでは  $\xi \geq \sqrt{5}/10 \approx 0.2236$  である範囲内で問題を考える。このとき、Figure A-3 の斜線で示した燃料棒には光が入らない。通常の原子炉では、 $\xi$  は  $0.38 \sim 0.40$  程度であるから、このような限定により計算できなくなるようことはない。

以上の限定下では、計算すべき対象は以下の 5通りに分けることができる。以下、それぞれの計算法について述べていくことにする。

- (1)  $f_{1,0}$  の計算
- (2)  $f_{1,1}$  の計算
- (3)  $f_{2,1}$  の計算
- (4)  $f_{k,1}$  ( $k=3, 4, 5, \dots$ ) の計算
- (5)  $f_{k,k-1}$  ( $k=3, 4, 5, \dots$ ) の計算

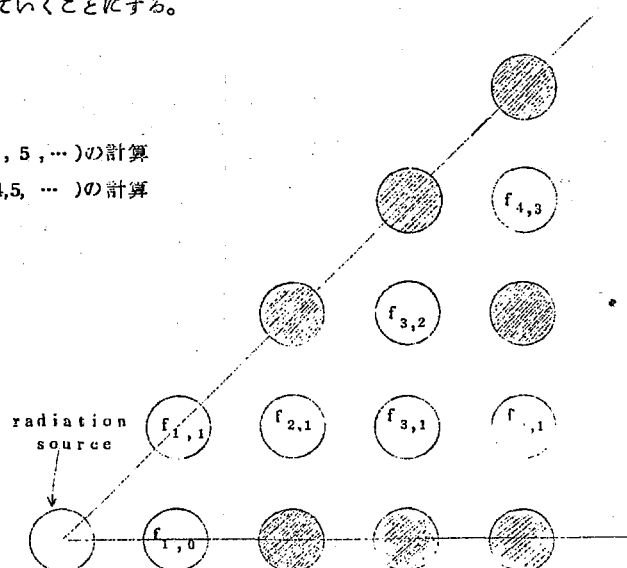


Figure A-3  $1/8$  model of a fuel assembly

**JAERI-M-5486**

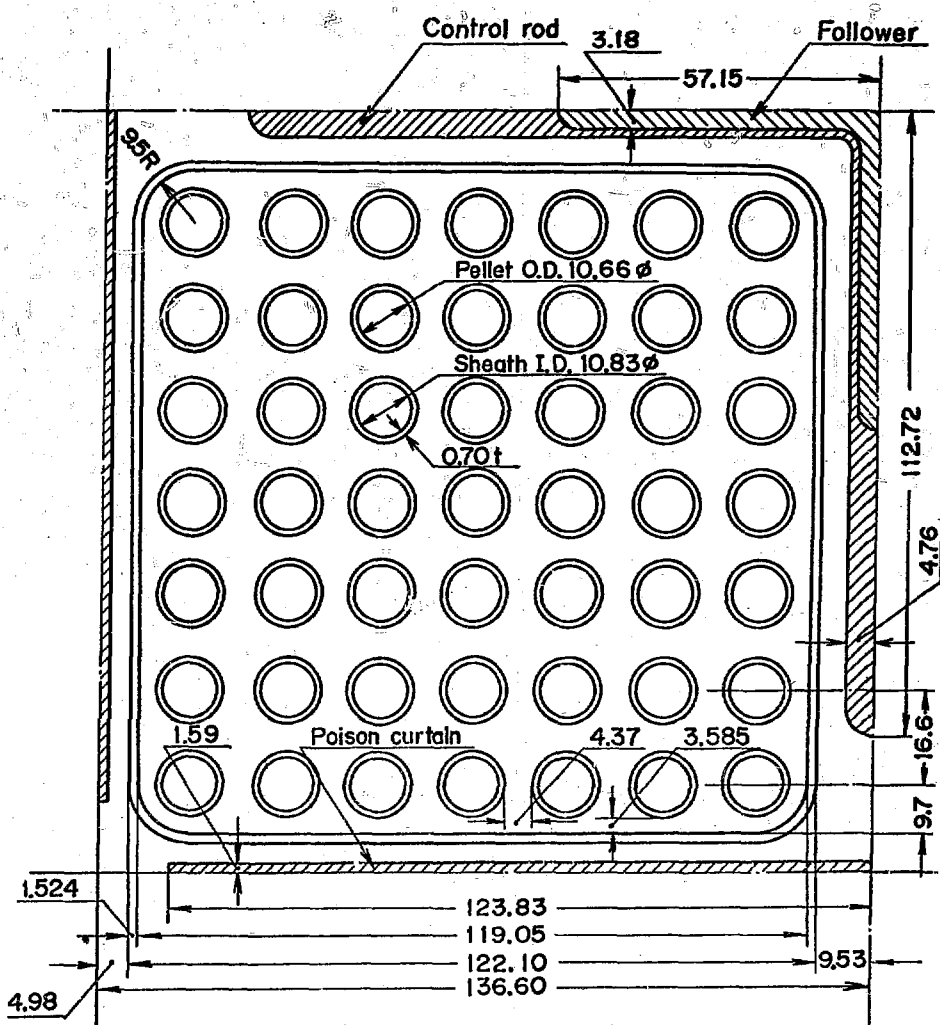


Figure A.1 BWR fuel assembly cell (JPDR)

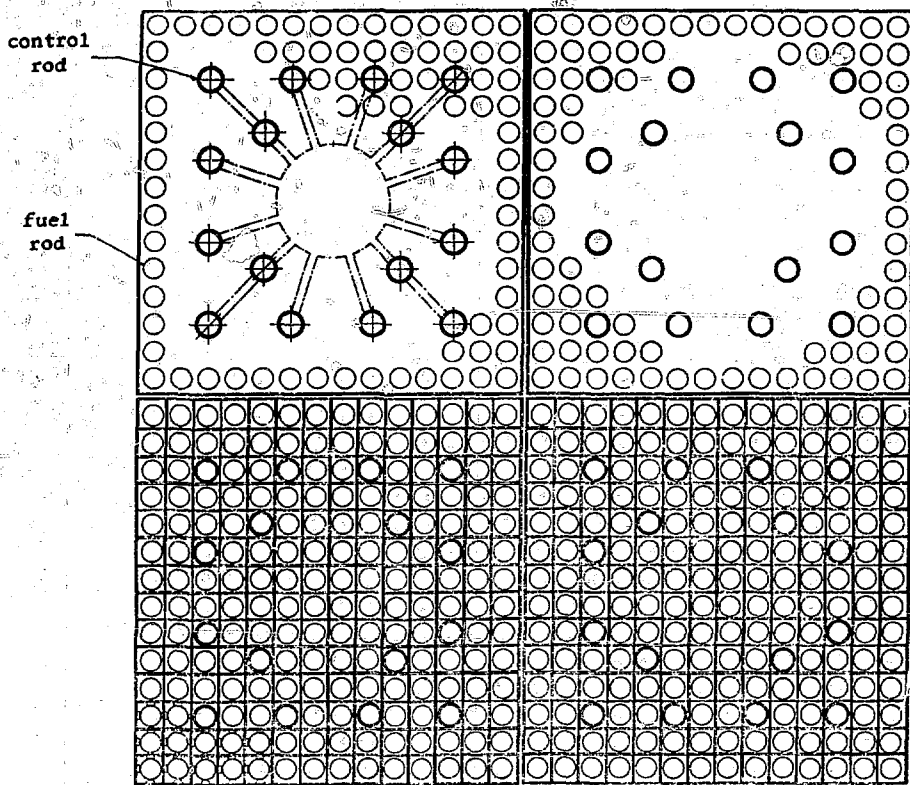


Figure A.2 PWR fuel assembly cell (Mihamata)  
(「美浜発電所原子炉設置許可申請書」より)

〔 $f_{1,0}$  の計算〕積分適用計算

Figure A-4 から

$$\begin{aligned}\varphi_1 &= \sin^{-1} \left( \frac{2r}{d} \right) \\ &= \sin^{-1} 2\xi\end{aligned}$$

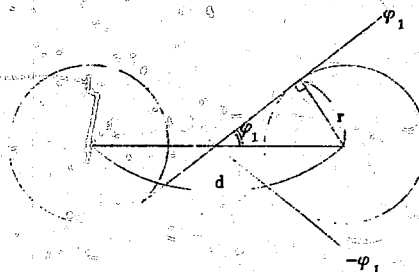


Figure A-4

射影面積計算

Figure A-5 から

$$S^{(\varphi)} = 2r \cdot d \sin \varphi$$

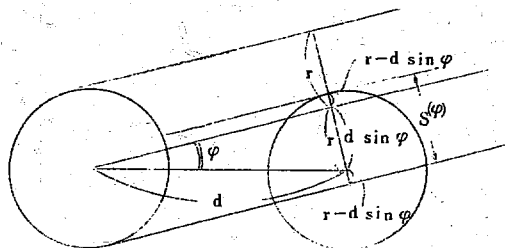


Figure A-5

積分計算

$$f_{1,0} = \frac{1}{2 \cdot 2\pi r} \int_{-\varphi_1}^{\varphi_1} (2r - d \sin \varphi) d\varphi$$

$$= \frac{1}{2\pi r} \int_0^{\varphi_1} (2r - d \sin \varphi) d\varphi$$

$$= \frac{1}{2\pi r} [2r\varphi + d \cos \varphi] \Big|_0^{\varphi_1}$$

$$= \frac{1}{\pi} \left\{ \varphi_1 + \frac{1}{2\xi} (\cos \varphi_1 - 1) \right\}$$

[ $f_{1,1}$  の計算]

$$\text{I } \frac{\sqrt{5}}{10} \leq \xi \leq \frac{\sqrt{2}}{4} \text{ の場合}$$

この場合は、Figure A-6 からわかるように、  
 $(1, 1)$  にある燃料棒は  $(1, 0)$  にある燃料  
 棒によって熱幅射線を妨害されない。よって、  
 $f_{1,0}$  の計算法をそのまま用いることができる。  
 $f_{1,0}$  計算に出てきた  $d$  のかわりに  $\sqrt{2} d$  を代  
 入すれば、

$$\varphi_1 = \sin^{-1} \sqrt{2} \xi$$

$$f_{1,1} = \frac{1}{\pi} \left\{ \varphi_1 + \frac{\sqrt{2}}{2\xi} (\cos \varphi_1 - 1) \right\}$$

$$\text{II } \frac{\sqrt{2}}{4} \leq \xi \leq \frac{1}{2} \text{ の場合}$$

場合分け

Figure A-7 のように  $\varphi_1, \varphi_2$  を定めると、

$$f_{1,1} = \frac{2}{2 \cdot 2\pi r} \left\{ \int_{\varphi_1}^{\varphi_2} S^{(\varphi)} d\varphi + \int_{\varphi_2}^{\frac{\pi}{4}} S^{(\varphi)} d\varphi \right\}$$

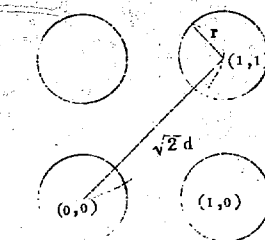


Figure A-6

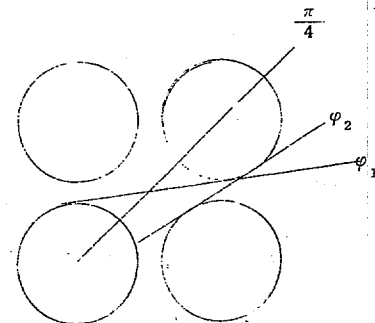


Figure A-7

積分範囲計算

$\varphi_1$  については、Figure A-8 から

$$\varphi_1 = \frac{\pi}{4} - \varphi_{11}$$

$$= \frac{\pi}{4} - \sin^{-1} \sqrt{2} \xi$$

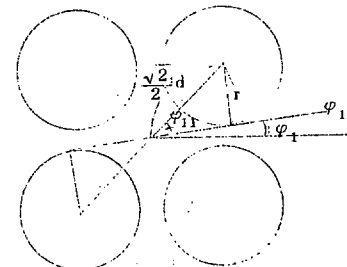
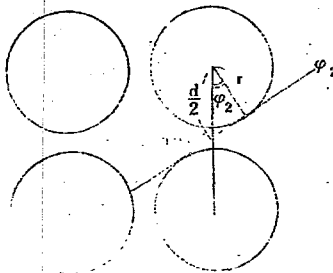


Figure A-8

$\varphi_2$  については Figure A-9 から

$$\varphi_2 = \cos^{-1} 2\xi$$



### 射影面積計算

Figure A-9

$\varphi_1 \leq \varphi \leq \varphi_2$  のとき, Figure A-10 から

$$S^{(\varphi)} = 2r + d \sin \varphi - d \cos \varphi$$

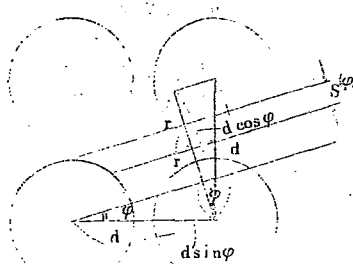


Figure A-10

$\varphi_2 \leq \varphi \leq \frac{\pi}{4}$  のとき, Figure A-11 から

$$S^{(\varphi)} = d \sin \varphi + d \cos \varphi - 2r$$

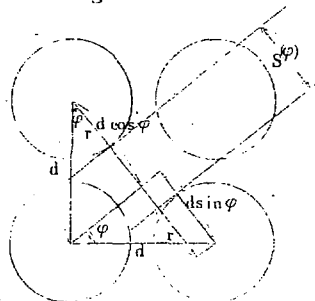


Figure A-11

### 積分計算

$$\begin{aligned}
 f_{1,1} &= \frac{1}{2\pi r} \left\{ \int_{\varphi_1}^{\varphi_2} (2r + d \sin \varphi - d \cos \varphi) dr + \int_{\varphi_2}^{\frac{\pi}{4}} (d \sin \varphi + d \cos \varphi - 2r) dr \right\} \\
 &= \frac{1}{2\pi r} \left\{ \left[ 2r\varphi - d \cos \varphi - d \sin \varphi \right]_{\varphi_1}^{\varphi_2} + \left[ -d \cos \varphi + d \sin \varphi - 2r\varphi \right]_{\varphi_2}^{\frac{\pi}{4}} \right\} \\
 &\equiv \frac{1}{2\pi r} \left\{ 2r \left( -\varphi_1 + 2\varphi_2 - \frac{\pi}{4} \right) + d \left( \sin \varphi_1 - 2 \sin \varphi_2 + \cos \varphi_1 \right) \right\} \\
 &\equiv \frac{1}{r} \left\{ \left( -\varphi_1 + 2\varphi_2 - \frac{\pi}{4} \right) + \frac{1}{2\xi} \left( \sin \varphi_1 - 2 \sin \varphi_2 + \cos \varphi_1 \right) \right\}
 \end{aligned}$$

[ $f_{2,1}$  の計算]

$$1 - \frac{\sqrt{5}}{10} \leq \xi \leq \frac{\sqrt{2}}{4} \text{ の場合}$$

場合分け

Figure A-12 のように  $\varphi_1, \varphi_2, \varphi_3, \varphi_4$  を定めると,

$$f_{2,1} = \frac{1}{2 \cdot 2\pi r}$$

$$\times \left\{ \int_{\varphi_1}^{\varphi_2} S^{(\varphi)} d\varphi + \int_{\varphi_2}^{\varphi_3} S^{(\varphi)} d\varphi + \int_{\varphi_3}^{\varphi_4} S^{(\varphi)} d\varphi \right\}$$

横分範囲計算

後で  $f_{k,1}$  ( $k \geq 3$ ) の計算で述べるようく,

$$\varphi_1 = \tan^{-1} \left( \frac{1}{2} \right) - \sin^{-1} \left( \frac{2\sqrt{5}}{5} \xi \right)$$

$$\varphi_2 = \tan^{-1} (1) - \sin^{-1} (\sqrt{2} \xi) = \frac{\pi}{4} - \sin^{-1} \sqrt{2} \xi$$

前で  $f_{1,0}$  の計算で見たようく (Figure A-4),

$$\varphi_3 = \sin^{-1} 2\xi$$

後で  $f_{k,k-1}$  ( $k \geq 3$ ) の計算で述べるようく

$$\varphi_4 = \tan^{-1} \left( \frac{1}{2} \right) + \sin^{-1} \left( \frac{2\sqrt{5}}{5} \xi \right)$$

射影面積計算

$\varphi_1 \leq \varphi \leq \varphi_2$  のとき, 後で  $f_{k,1}$  ( $k \geq 3$ ) の計算に見られるようく

$$S^{(\varphi)} = 2d \sin \varphi + 2r - d \cos \varphi$$

$\varphi_2 \leq \varphi \leq \varphi_3$  のとき, 後で  $f_{k,1}$  ( $k \geq 3$ ) もしくは  $f_{k,k-1}$  ( $k \geq 3$ ) の計算に出てくるようく,

$$S^{(\varphi)} = d \cos \varphi - 2r$$

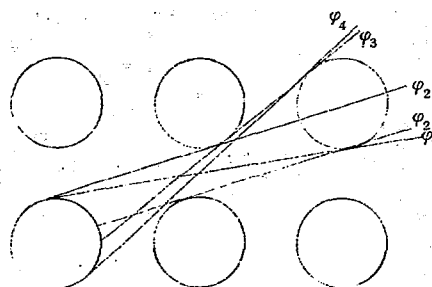


Figure A-12

$\varphi_3 \leq \varphi \leq \varphi_4$  のとき、後ICf<sub>k, k-1</sub> ( $k \geq 3$ ) の計算に出てくるように

$$S^{(\varphi)} = d \cos \varphi - 2r - 2d \sin \varphi$$

### 積分計算

$$\begin{aligned} f_{2,1} &= \frac{1}{4\pi r} \left\{ \int_{\varphi_1}^{\varphi_2} (2r + 2d \sin \varphi - d \cos \varphi) dr \right. \\ &\quad \left. + \int_{\varphi_2}^{\varphi_3} (d \cos \varphi - 2r) dr + \int_{\varphi_3}^{\varphi_4} (2r + d \cos \varphi - 2d \sin \varphi) dr \right\} \\ &= \frac{1}{4\pi r} \left\{ [2r\varphi - 2d \cos \varphi - d \sin \varphi] \Big|_{\varphi_1}^{\varphi_2} \right. \\ &\quad \left. + [d \sin \varphi - 2r\varphi] \Big|_{\varphi_2}^{\varphi_3} + [2r\varphi + d \sin \varphi + 2d \cos \varphi] \Big|_{\varphi_3}^{\varphi_4} \right\} \\ &= \frac{1}{4\pi r} \left\{ 2r(-\varphi_1 + 2\varphi_2 - 2\varphi_3 + \varphi_4) \right. \\ &\quad \left. + d(\sin \varphi_1 - 2 \sin \varphi_2 + \sin \varphi_4 + 2 \cos \varphi_1 - 2 \cos \varphi_2 - 2 \cos \varphi_3 + 2 \cos \varphi_4) \right\} \\ &= \frac{1}{4\pi} \left\{ 2(-\varphi_1 + 2\varphi_2 - 2\varphi_3 + \varphi_4) \right. \\ &\quad \left. + \frac{1}{\xi} (\sin \varphi_1 - 2 \sin \varphi_2 + \sin \varphi_4 + 2 \cos \varphi_1 - 2 \cos \varphi_2 - 2 \cos \varphi_3 + 2 \cos \varphi_4) \right\} \end{aligned}$$

$$\text{II } \frac{\sqrt{2}}{4} \leqq \varepsilon \leqq \frac{1}{2} のとき$$

このときは、 $k \geq 3$  のときの  $f_{k,1}$  の計算式 IC  $k=2$  を代入すればそのまま  $f_{2,1}$  が求まる。

ただし、 $\varphi_{31} = \frac{\pi}{2}$  とする。

〔 $f_{k+1}$  の計算〕 ( $k \geq 3$ )場合分けFigure A-13 のよう  $\varphi_1, \varphi_2, \varphi_3$  を定めると

$$f_{k+1} = \frac{1}{2 \cdot 2\pi r} \left\{ \int_{\varphi_1}^{\varphi_2} S^{(\varphi)} d\varphi + \int_{\varphi_2}^{\varphi_3} S^{(\varphi)} d\varphi \right\}$$

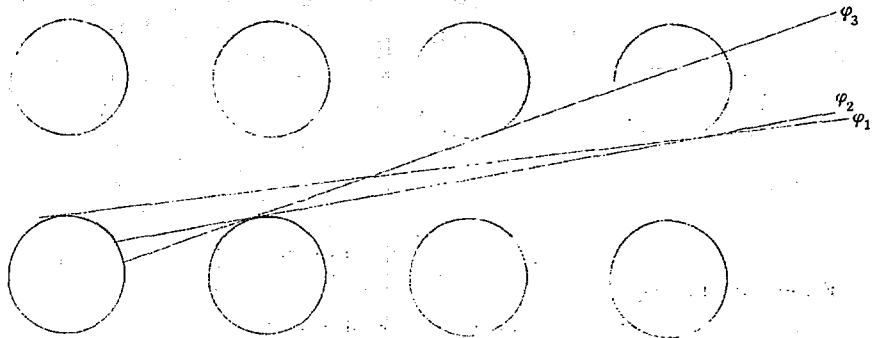


Figure A-13

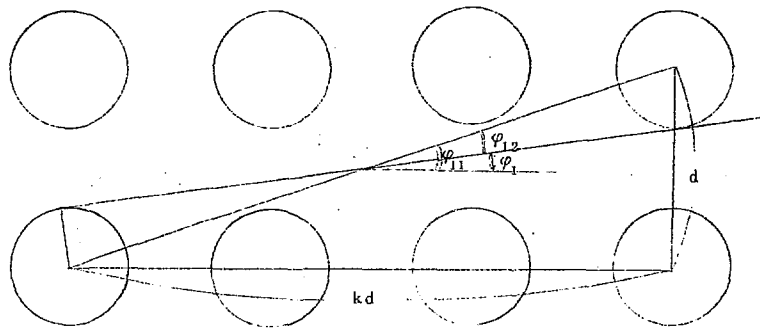
積分範囲計算Figure A-14 から,  $\varphi_1$  は次のように求まる。

Figure A-14

同様に

$$\tan \varphi_{11} = -\frac{1}{k}$$

$$\tan \varphi_{21} = -\frac{1}{k-1}$$

$$\tan \varphi_{31} = -\frac{1}{k-2}$$

$$\sin \varphi_{12} = \frac{2\xi}{\sqrt{k^2+1}}$$

$$\sin \varphi_{22} = \frac{2\xi}{\sqrt{(k-1)^2+1}}$$

$$\sin \varphi_{32} = \frac{2\xi}{\sqrt{(k-2)^2+1}}$$

$$\varphi_1 = \varphi_{11} - \varphi_{12}$$

$$\varphi_2 = \varphi_{21} - \varphi_{22}$$

$$\varphi_3 = \varphi_{31} - \varphi_{32}$$

## 射影面積計算

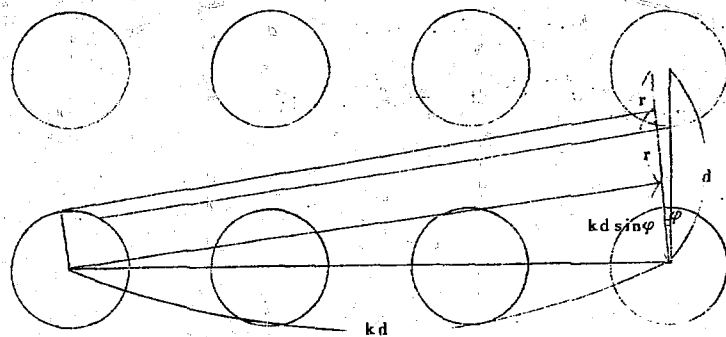
 $\varphi_1 \leqq \varphi \leqq \varphi_2$  のとき

Figure A-15

Figure A-15 から

$$S_{12}^{(\varphi)} = kd \sin \varphi + 2r - d \cos \varphi$$

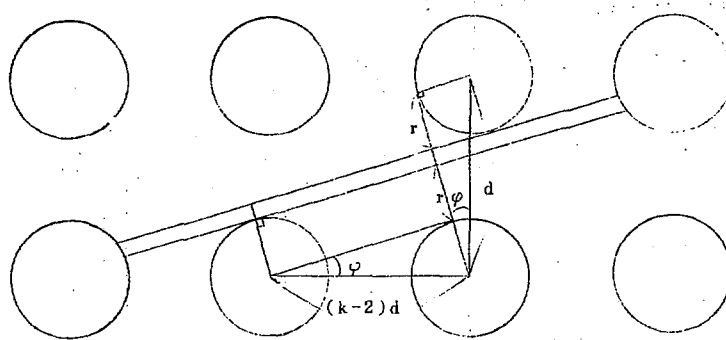
 $\varphi_2 \leqq \varphi \leqq \varphi_3$  のとき

Figure A-16

Figure A-16 から

$$S_{12}^{(\varphi)} = d \cos \varphi - 2r - (k-2)d \sin \varphi$$

積分結果

$$\begin{aligned}
 f_{k,1} &= \frac{1}{4\pi r} \left[ \int_{\varphi_1}^{\varphi_2} \{ kd \sin \varphi + 2r - d \cos \varphi \} d\varphi \right. \\
 &\quad \left. + \int_{\varphi_2}^{\varphi_3} \{ d \cos \varphi - 2r - (k-2)d \sin \varphi \} d\varphi \right] \\
 &= \frac{1}{4\pi r} \left\{ \left[ -kd \cos \varphi + 2r\varphi - d \sin \varphi \right] \right. \\
 &\quad \left. + \left[ d \sin \varphi - 2r\varphi + (k-2)d \cos \varphi \right] \right\} \\
 &= \frac{1}{4\pi r} \left\{ kd \cos \varphi_1 - kd \cos \varphi_2 + d \sin \varphi_1 - d \sin \varphi_2 + d \sin \varphi_3 - d \sin \varphi_1 \right. \\
 &\quad \left. + (k-2)d \cos \varphi_3 - (k-2)d \cos \varphi_2 + 2r(\varphi_2 - \varphi_1) - 2r(\varphi_3 - \varphi_2) \right\} \\
 &= \frac{1}{4\pi r} \left\{ kd \cos \varphi_1 - 2(k-1)d \cos \varphi_2 + (k-2)d \cos \varphi_3 + d \sin \varphi_1 \right. \\
 &\quad \left. - 2d \sin \varphi_2 + d \sin \varphi_3 - 2r(\varphi_1 - 2\varphi_2 + \varphi_3) \right\} \\
 &= \frac{1}{4\pi} \left[ \frac{1}{\xi} \left\{ k \cos \varphi_1 - 2(k-1) \cos \varphi_2 + (k-2) \cos \varphi_3 - \sin \varphi_1 - 2 \sin \varphi_2 \right. \right. \\
 &\quad \left. \left. + \sin \varphi_3 \right\} - 2(\varphi_1 - 2\varphi_2 + \varphi_3) \right]
 \end{aligned}$$

〔 $f_{k,k-1}$  の計算〕 ( $k \geq 3$ )場合分けFigure A-17 のように  $\varphi_1, \varphi_2, \varphi_3$  を

定めると

$$f_{k,k-1} = \frac{1}{2 \cdot 2\pi r} \left\{ \int_{\varphi_1}^{\varphi_2} S^{(\varphi)} d\varphi + \int_{\varphi_2}^{\varphi_3} S^{(\varphi)} d\varphi \right\}$$

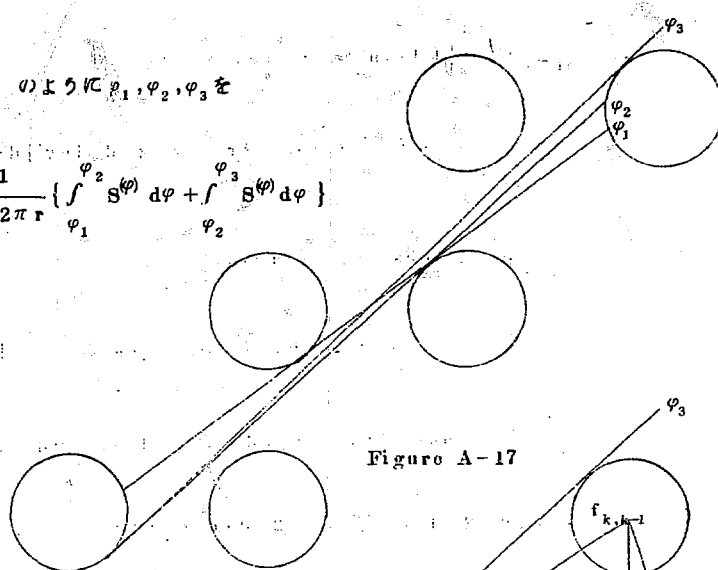


Figure A-17

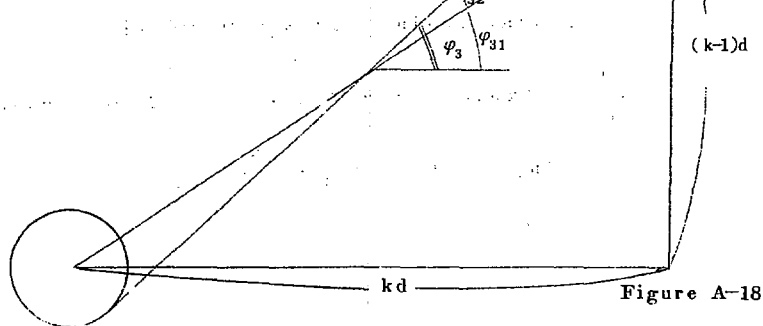
横分範囲計算

Figure A-18

Figure A-18 から

同様に

$$\tan \varphi_{31} = \frac{k-1}{k} \quad \tan \varphi_{21} = \frac{k-2}{k-1} \quad \tan \varphi_{11} = \frac{k-3}{k-2}$$

$$\sin \varphi_{32} = \frac{2\xi}{\sqrt{(k-1)^2 + k^2}} \quad \sin \varphi_{22} = \frac{2\xi}{\sqrt{(k-2)^2 + (k-1)^2}} \quad \sin \varphi_{12} = \frac{2\xi}{\sqrt{(k-3)^2 + (k-2)^2}}$$

$$\varphi_3 = \varphi_{31} + \varphi_{32}$$

$$\varphi_2 = \varphi_{21} + \varphi_{22}$$

$$\varphi_1 = \varphi_{11} + \varphi_{12}$$

射影面積計算

$\varphi_1 \leq \varphi \leq \varphi_2$  のとき

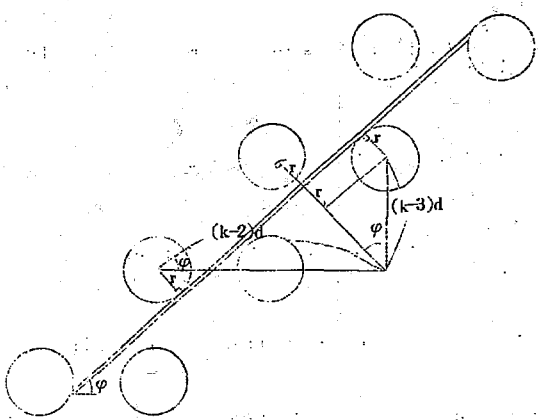


Figure A-19

Figure A-19 から

$$S^{(\varphi)} = (k-2)d \sin \varphi - (k-3)d \cos \varphi - 2r^2$$

$\varphi_2 \leq \varphi \leq \varphi_3$  のとき

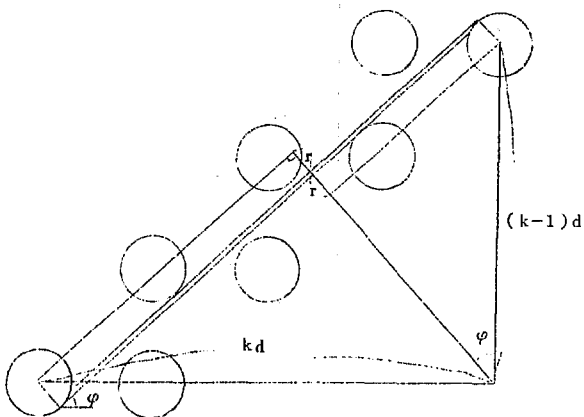


Figure A-20

$$S^{(\varphi)} = (k-1)d \cos \varphi + 2r - kd \sin \varphi$$

積分結果

$$\begin{aligned}
 f_{k,k-1} &= \frac{1}{4\pi r} \int_{\varphi_1}^{\varphi_2} \{ (k-2)d \sin \varphi - (k-3)d \cos \varphi - 2r \} d\varphi \\
 &\quad + \frac{1}{4\pi r} \int_{\varphi_2}^{\varphi_3} \{ (k-1)d \cos \varphi + 2r - kd \sin \varphi \} d\varphi \\
 &= \frac{1}{4\pi r} \left[ -(k-2)d \cos \varphi - (k-3)d \sin \varphi - 2r \varphi \right]_{\varphi_1}^{\varphi_2} \\
 &\quad + \frac{1}{4\pi r} \left[ (k-1)d \sin \varphi + 2r \varphi + kd \cos \varphi \right]_{\varphi_2}^{\varphi_3} \\
 &= \frac{1}{4\pi r} \{ (k-3)d \sin \varphi_1 - (k-3)d \sin \varphi_2 - (k-1)d \sin \varphi_2 + (k-1)d \sin \varphi_3 \\
 &\quad + (k-2)d \cos \varphi_1 - (k-2)d \cos \varphi_2 - kd \cos \varphi_2 + kd \cos \varphi_3 \\
 &\quad + 2r \varphi_1 - 2r \varphi_2 - 2r \varphi_2 + 2r \varphi_3 \} \\
 &= \frac{1}{4\pi} \left[ \frac{1}{\xi} \{ (k-3) \sin \varphi_1 - 2(k-2) \sin \varphi_2 + (k-1) \sin \varphi_3 \right. \\
 &\quad \left. + (k-2) \cos \varphi_1 - 2(k-1) \cos \varphi_2 + k \cos \varphi_3 \right] \\
 &\quad + 2\varphi_1 - 4\varphi_2 + 2\varphi_3 \]
 \end{aligned}$$

## [まとめ]

以上の結果をまとめると、以下のようになる。

 $f_{1,0}$  の計算

$$\text{I} \quad \frac{\sqrt{5}}{10} \leq \xi \leq \frac{1}{2} \text{ のとき}$$

$$\varphi_1 = \sin^{-1} 2\xi \text{ として}$$

$$f_{1,0} = \frac{1}{\pi} \left\{ \varphi_1 + \frac{1}{2\xi} (\cos \varphi_1 - 1) \right\}$$

 $f_{1,i}$  の計算

$$\text{I} \quad \frac{\sqrt{5}}{10} \leq \xi \leq \frac{\sqrt{2}}{4} \text{ のとき}$$

$$\varphi_1 = \sin^{-1} \sqrt{2}\xi \text{ として}$$

$$f_{1,1} = \frac{1}{\pi} \left\{ \varphi_1 + \frac{\sqrt{2}}{2\xi} (\cos \varphi_1 - 1) \right\}$$

$$\text{II} \quad \frac{\sqrt{2}}{4} \leq \xi \leq \frac{1}{2} \text{ のとき}$$

$$\varphi_1 = \frac{\pi}{4} - \sin^{-1} \sqrt{2}\xi$$

$$\varphi_2 = \cos^{-1} 2\xi \text{ として}$$

$$f_{1,1} = \frac{1}{\pi} \left\{ (-\varphi_1 + 2\varphi_2 - \frac{\pi}{4}) + \frac{1}{2\xi} (\sin \varphi_1 - 2\sin \varphi_2 + \cos \varphi_1) \right\}$$

 $f_{2,1}$  の計算

$$\text{I} \quad \frac{\sqrt{5}}{10} \leq \xi \leq \frac{\sqrt{2}}{4} \text{ のとき}$$

$$\varphi_1 = \tan^{-1} \left( \frac{1}{2\xi} \right) - \sin^{-1} \left( \frac{2\sqrt{5}}{5} \xi \right)$$

$$\varphi_2 = \frac{\pi}{4} - \sin^{-1} \sqrt{2}\xi$$

$$\varphi_3 = \sin^{-1} 2\xi$$

$$\varphi_4 = \tan^{-1} \left( \frac{1}{2\xi} \right) + \sin^{-1} \left( \frac{2\sqrt{5}}{5} \right) \text{ として}$$

$$f_{2,1} = \frac{1}{4\pi} \{ 2(-\varphi_1 + 2\varphi_2 - 2\varphi_3 + \varphi_4)$$

$$+ \frac{1}{\xi} (\sin \varphi_1 - 2 \sin \varphi_2 + \sin \varphi_3 + 2 \cos \varphi_1 - 2 \cos \varphi_2 - 2 \cos \varphi_3 + 2 \cos \varphi_4) \}$$

II  $\frac{\sqrt{2}}{4} \leq \xi \leq \frac{1}{2}$  のとき

$f_{k,1}$  ( $k \geq 3$ ) の式の  $k \neq 2$  を入れればそのまま求まる。ただし  $\varphi_{31} = \frac{\pi}{2}$  とする。

$f_{k,1}$  ( $k \geq 3$ ) の計算

$$\frac{\sqrt{5}}{10} \leq \xi \leq \frac{1}{2} \text{ のとき}$$

$$\varphi_1 = \tan^{-1} \left( \frac{1}{k} \right) - \sin^{-1} \left( \frac{2\xi}{\sqrt{k^2+1}} \right),$$

$$\varphi_2 = \tan^{-1} \left( \frac{1}{k-1} \right) - \sin^{-1} \left( \frac{2\xi}{\sqrt{(k-1)^2+1}} \right)$$

$$\varphi_3 = \tan^{-1} \left( \frac{1}{k-2} \right) - \sin^{-1} \left( \frac{2\xi}{\sqrt{(k-2)^2+1}} \right) \text{ として}$$

$$f_{k,1} = \frac{1}{4\pi} [ -2(\varphi_1 - 2\varphi_2 + \varphi_3) ]$$

$$+ \frac{1}{\xi} \{ \sin \varphi_1 - 2 \sin \varphi_2 + \sin \varphi_3 + k \cos \varphi_1 - 2(k-1) \cos \varphi_2 \cdot$$

$$+ (k-2) \cos \varphi_3 \} ]$$

$f_{k,k-1}$  ( $k \geq 3$ ) の計算

$$\frac{\sqrt{5}}{10} \leq \xi \leq \frac{1}{2} \text{ のとき}$$

$$\varphi_3 = \tan^{-1} \left( \frac{k-1}{k} \right) + \sin^{-1} \left( \frac{2\xi}{\sqrt{(k-1)^2+k^2}} \right)$$

$$\varphi_2 = \tan^{-1} \left( \frac{k-2}{k-1} \right) + \sin^{-1} \left( \frac{2\xi}{\sqrt{(k-2)^2+(k-1)^2}} \right)$$

$$\varphi_1 = \tan^{-1} \left( \frac{k-3}{k-2} \right) + \sin^{-1} \left( \frac{2\xi}{\sqrt{(k-3)^2+(k-2)^2}} \right) \text{ として},$$

$$f_{k,k-1} = \frac{1}{4\pi} \left[ \rho (\varphi_1 - 2\varphi_2 + \varphi_3) \right. \\ \left. + \frac{1}{\xi} \{ (k-3)\sin\varphi_1 - 2(k-2)\sin\varphi_2 + (k-1)\sin\varphi_3 \right. \\ \left. + (k-2)\cos\varphi_1 - 2(k-1)\cos\varphi_2 + k\cos\varphi_3 \} \right]$$

$\xi$ をパラメーターとし、各角度因子を図示すると、Figure A-21 のようになる。

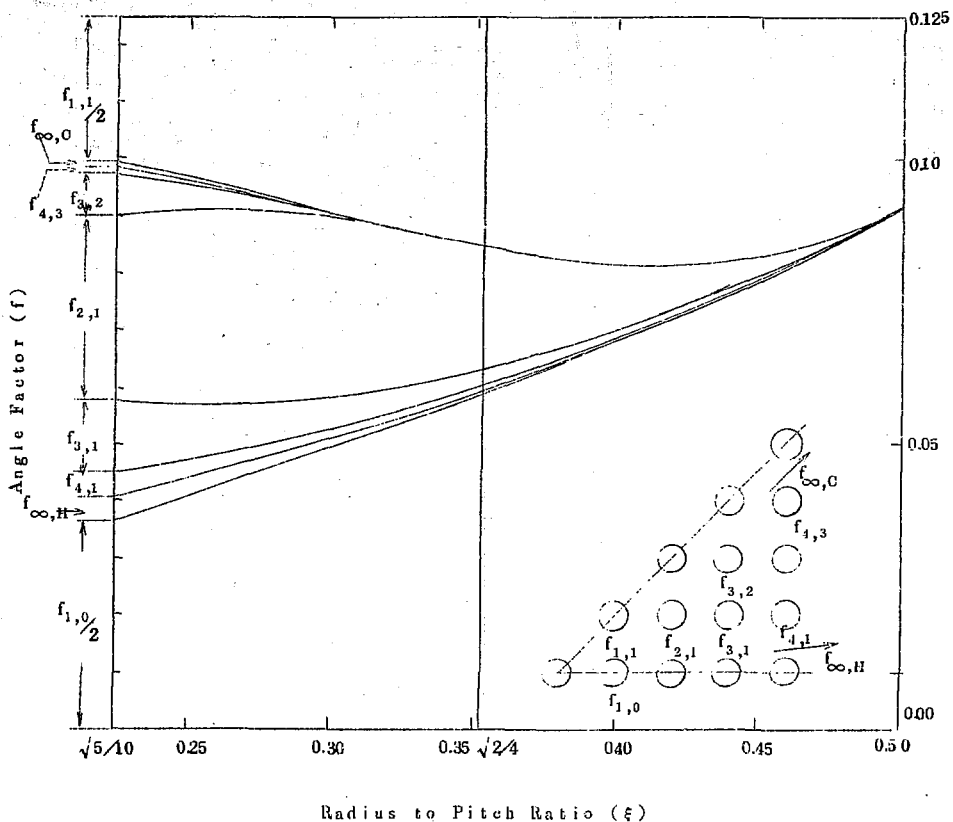


Figure A-21 Radius to Pitch Ratio vs. Angle Factor